

大阪産業大学工学部 重光世洋

1. はじめに：エネルギー資源のほとんどを外国に依存している我が国においては、資源有限の面から有効エネルギーの研究が勿論のこと、新種エネルギーの開発が今後ますます重要な課題となることは確実に行なは。新種エネルギーとして、太陽エネルギー、地熱エネルギー、波浪エネルギー、潮汐差を利用したエネルギーの発生方法があるが、本文では揚水装置による波浪揚水による起倒落差発電の有効性についての検討結果を報告する。この波浪揚水装置の基本的な考え方、斜面と放散堤により行なう構造物を沿岸の適切な水深地帯に設置し、進行波の増幅と碎波特性を利用して海水を逆水池内に揚水し、逆水池内の水位と海面の高低差を利用して装置を行なう。この印加波流発電方式によるものである。この方法による基礎的水理模型実験は本研究、三実施^{1), 2)}である。本研究は先山河の研究成績を基に(1)、実際の現地に適用する可能性について検討を行なった。今後の技術課題について抽出したものである。

2. 期待発生能力量の算定法とその諸条件

(1) 揚水装置の形状：前記の実験結果によれば、水深 10.5m(実測)における装置 1 台揚水機に対する越波流量の最も期待されるの付斜面勾配 $\tan \alpha = 1:1.5$ 、放散角 37° であることが検討されたものである。この付斜面勾配を用いた場合の形状を対象とする。

表-1 期待越波流量実験式係数表

Coeff. Depth	T(sec)	m	n
10.5m	5	0.0365	-0.0203
"	8	0.1154	-0.0549
"	10	0.0148	-0.0395
10.8	8	0.1336	-0.0440
11.1	8	0.1546	-0.0380

(2) 期待越波流量の算定式：前記形状に対する期待越波流量の実験式は規則波に対する表-1 に示す結果を得たもの。表中の m 、 n は揚水機単位長さ(単位時間当り)の期待越波流量 g ($m^3/sec/m$) と $g = mH^{\frac{1}{2}} + n$ と(2)表山(実験結果)より求めた値である。 H は波高(m)、 T は周期(sec)である。しかし、表中の m の値は種類の周期における水深(越波堆高) D cm と $D = 3.0, 3.3$ および 3.6 m の付斜面勾配の各種の波高と周期より得た不規則波に適用するには十分でない。これは逆波吸揚による m 、 n は単純な周期比(直線比例)ではなく、また越波堆高に対する(2)の周期 8.8 秒以下の実験値の値を m 、 n と D の値と比較して他の周期におけるも同じくして値を決定する。この場合、周期 12.9 m 位の直線比の場合、その九倍が正しく、此の場合の期待越波流量は 0.0365 である。

(3) 現地波浪の換算：期待発生能力量の検討対象とする揚水機の設置水深は 10.5m 一定とする。この場合、現地波浪の観測結果は、水深 10.5m での換算値である。換算方法は微小振幅波理論を用い、反射、屈折、海底摩擦等による影響を考慮する。

(4) 発生能力量の算定法：揚水機単位長さ当たりの発生能力量 $P(KW/m)$ とすると、この付斜面の発生能力量 $PT(KWH/m)$ は $PT = P \cdot T \cdot K$ である。 $K = g \cdot g(D - \Delta D) \cdot \beta$ 、 ΔD : 損失水頭(cm)、 β : 斜面機と水平との複合効率($\beta = 0.85$ と仮定)、 T : 1 日の波浪の継続時間(hr)、波浪の一日あたりの観測回数を適意して決める。一般的波浪観測各長さ 2 時間ごとに 1 回、20 分間程度の波浪記録に基づいて整理(2.5% 以上が多め)。 $(K)^2/2$ 、日発生能力量 $DT = 2 \sum_{n=1}^{N-1} P(KWH/m)$ である。

(5) 入力条件：不規則波による水理模型実験条件、自家平均波高 H_{rms} と自家平均周期 T_{rms} とより算定した越波流量は規則波の波高と他の周期(これは 1 分有義波と呼ぶ)によるものと補正する。これを利用し、主な諸要素は次の波高分布律 Rayleigh 分布(1 分)で従う。この検討は 1 年以内である。波浪分布律は自家平均波高 H_{rms} の平均周期 T 、自家平均有義波高 $H_{1/3}$ と他の周期 $T_{1/3}$ で $H_{rms} = 1.128 T = 0.705 H_{1/3}$ 、 $T_{rms} = T = 0.909 T_{1/3}$ である。換算する。すると、不規則波の実験用の大きさ λ は Bretschneider - 起伏式の標準化されたものである。計算

地東の波浪エネルギーは、三検討の結果、135%の標準化による合計を(2.1万kW)。

3. 期待発生電力量：検討結果地東は中部日本海沿岸の7地東である。越波高の効率と検討方法で、 $D=1.5, 2.0, 2.5, 3.0, 3.3$ 及び 3.6m の6種々の条件で行い、損失水頭 $\Delta D = 0.4\text{m}$ 。図-1は若狭地東における2時間ごとの波浪記録と用いた揚水機単位当たりの発電結果を月別日平均値に直した期待発生電力量と波浪エネルギーと比較したものである。同図中には可利用率 μ_{PW} および MPT 体積小包の月別日平均波浪エネルギーと月別日平均期待発生電力量と月別日平均変動係数がある。図示のところに11月から翌年の2月の5ヶ月間にかけて日平均で約 100 kWh/m 以上の発電が期待でき、変動係数も比較的小さく、発電の能力と供給能力との差が少ない。また、この期間における波浪エネルギーへの変換率も30%程度と高い。他の期間では日本海側の海岸条件により発電量があり期待できない。表-2は地東別月別及び年間の期待発生電力量を、図-2は年間及び10月から翌年3月の6ヶ月間の期待発生電力量と変換率を示すものである。酒田、金沢および鳥取沿岸一帯では年間 $20,000\text{ kWh/m}$ 以上の発電量の発生が期待でき、変換率も25%と高い。また、10月～3月

表-2 地点別期待発生電力量の比較表 (kWh/m)

Month	1	2	3	4	5	6	7	8	9	10	11	12	TOTAL
AKITA (1976)	3105.3	421.9	608.9	178.1	555.7	43.8	11.3	91.5	280.3	928.1	1428.2	1959.7	9621.1
SAKATA (1976)	8078.8	1925.0	1913.1	605.5	441.4	75.1	8.7	66.0	481.6	2683.5	2683.9	4273.9	23236.0
KANAZAWA (1976)	9015.5	1762.2	1048.7	440.6	529.1	48.7	1.6	98.2	606.7	1871.2	3880.3	4620.6	23923.4
WAKASA (1977)	3617.1	4222.6	2046.4	599.0	615.9	58.0	0.0	347.5	603.8	1203.5	3074.1	3382.4	19547.2
K. MISAKI (1979)	3312.1	2155.5	1669.0	1017.4	289.3	38.6	157.4	97.2	228.4	1241.9	2346.4	2177.3	14730.3
TOTORI (1978)	4864.9	4345.6	2917.8	299.9	542.4	209.1	17.4	135.4	525.8	2025.4	1743.5	3288.5	20855.6
HAMATA (1978)	3372.1	2436.1	1220.1	548.1	330.3	79.9	3.2	88.2	253.8	682.3	1157.8	1972.8	12144.8

の6ヶ月間の発電量は年間の90%以上を占める。図-3は越波高と変換率の関係を示すものである。越波高 $D = 2.0 \sim 2.5\text{m}$ 付近にて発電の効率が最も高い。揚水機の含む装置の陸上部の製作適性規模の考慮(2、収穫率2割(底さ40m)41エニットとすると、発電機の容量は概ね 200 kW 程度となる。

4. おわりに：以上の概略的検討結果により、本発電方式は冬期風浪の卓越する日本海沿岸によると非常に有効な方法といふと言える。しかし、避水池の越波せき方水面変動、発電機揚水機の水面昇降、被水の方法、超低落差発電機の製作、周辺環境以及木造構築、投資効率、水産及余暇施設との総合利用等これら全般の山火事項問題の残る点がある。今後各専門分野による検討を期待したい。

参考文献：1) 金井・連水・間本：波浪揚水発電に関する実験的研究、第34回年講、昭和54年10月。

2) 方旭・小林・間本：波浪揚水発電機造物、越波量に関する実験的検討、第35回年講、昭和55年9月。

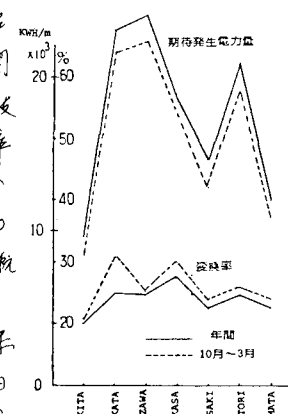


図-2 地点別期待発生電力量と変換率

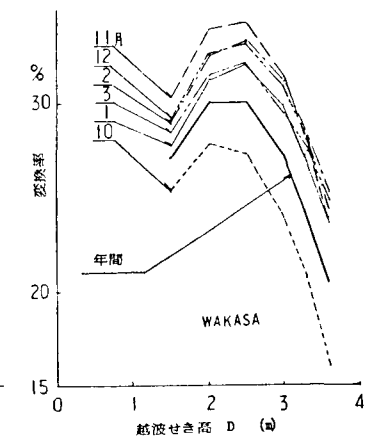


図-3 越波せき高 (落差) と変換率の関係